

# **(Toy) MonteCarlo**

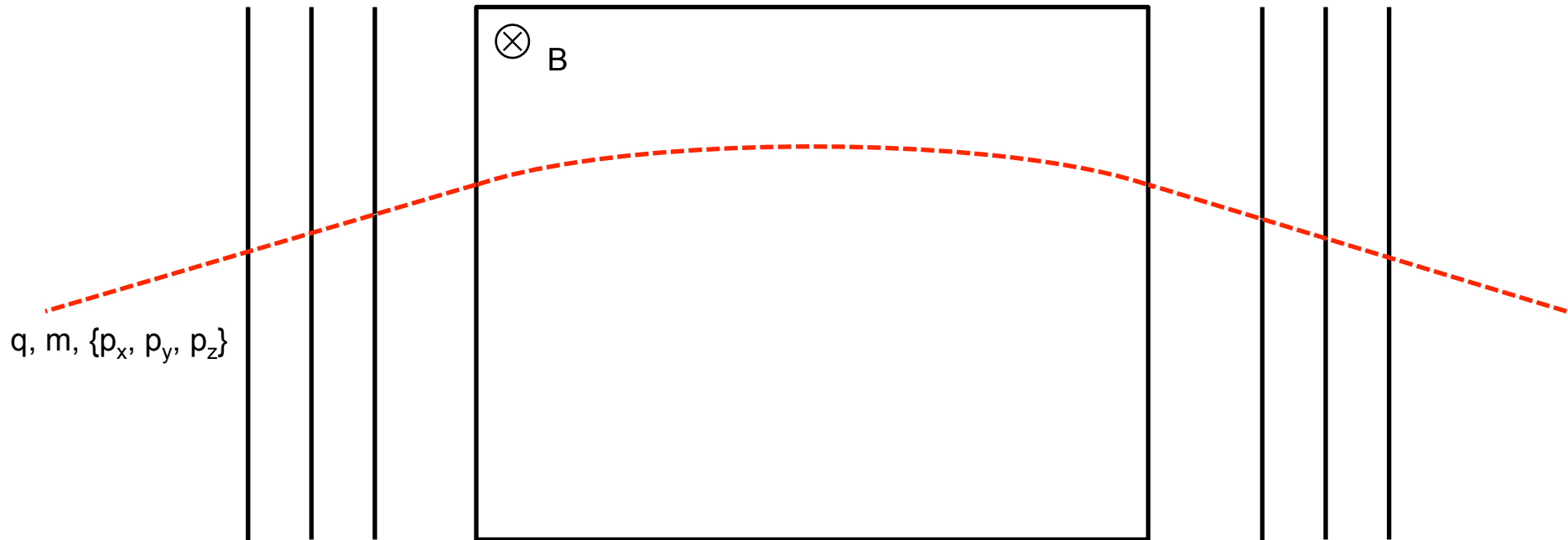
Matteo Duranti

[matteo.duranti@pg.infn.it](mailto:matteo.duranti@pg.infn.it)

(cfr. [https://space.umd.edu/dch/p405s06/sullivan\\_geometry\\_factor.pdf](https://space.umd.edu/dch/p405s06/sullivan_geometry_factor.pdf))

# Esempio realistico

Vogliamo simulare un spettrometro magnetico sottoposto a particelle cariche



# Generatore

Quanti eventi generiamo? Cosa utilizziamo per generare? ...

# Generatore

Quanti eventi generiamo? Cosa utilizziamo per generare? ...

- generator random:

```
// --- random object ---
static TRandom3* tran=NULL;
if(!tran){
    tran= new TRandom3();
    tran->SetSeed(76); //this gives a "good" first event
}
```

- definiamo le variabili che ci servono:

```
double iDir[3];
```

```
unsigned long long int NTRIG = TMath::Power(2, 27) - 1; //permitted up to 2^32 -1 //BUT YOU CAN HAVE A PROBLEM WITH
THE MAXIMUM NUMBER OF ENTRIES FILLABLE IN A HISTO BIN!!!!
//unsigned long long int NTRIG = 1;
//unsigned long long int NTRIG = 3;
```

```
// ***** START THE SIMULATION *****
float pperc=0.;
float perc;
unsigned int nentries= NTRIG;
printf("-----\n");
printf("Simulating %u events\n", nentries);
printf("-----\n");
```

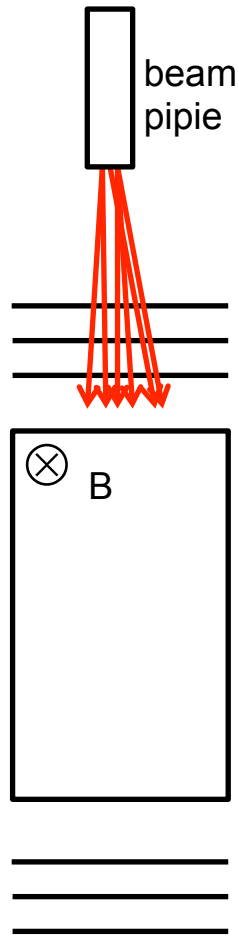
- loop sugli eventi

```
for(unsigned long long int ii=0;ii<nentries;ii++){
    perc=ii/(nentries*1.);
    if (perc>=pperc){
        printf("Processed %5.0f%%\n", pperc*100);
        pperc+=0.01;
    }
}
```

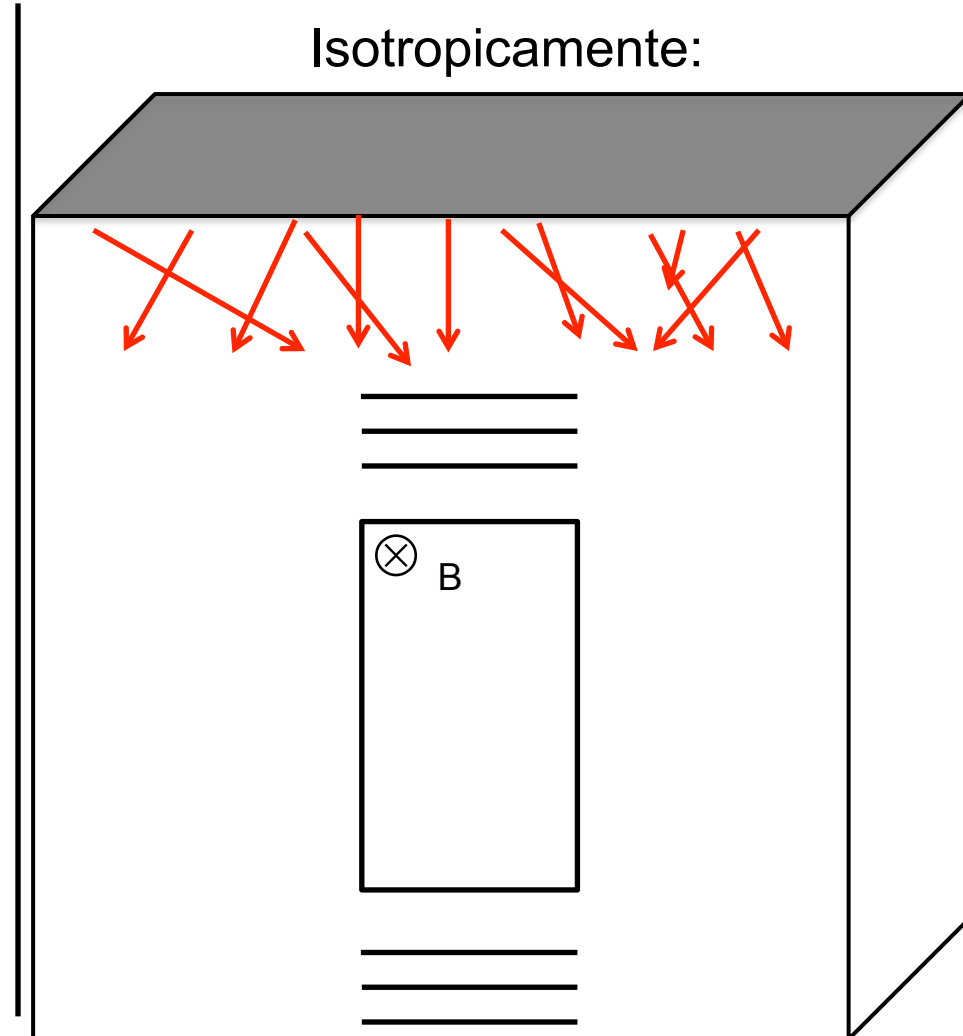
# Generatore

Come arrivano le particelle incidenti lo spettrometro?

Fascio di particelle:

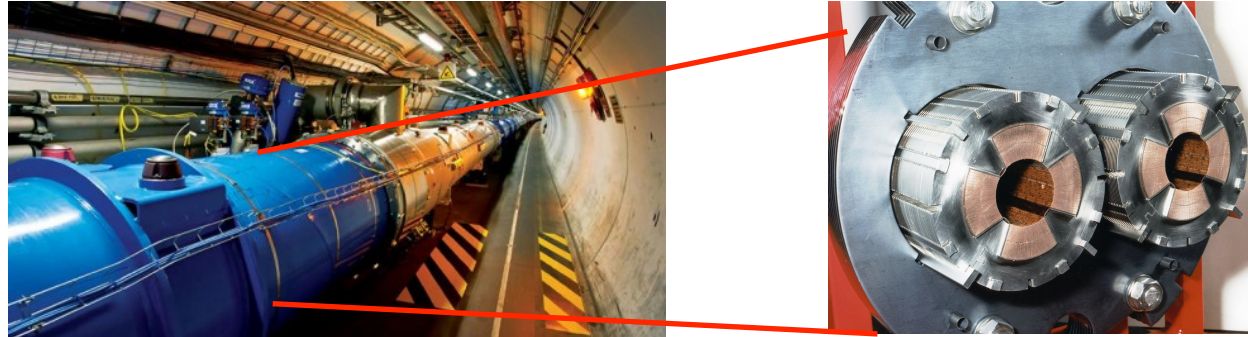


Isotropicamente:



# Fascio di particelle

Beam pipe:



“spot size”:

- $\sim 1$  mm di larghezza (esempio)
- idealmente gaussiano

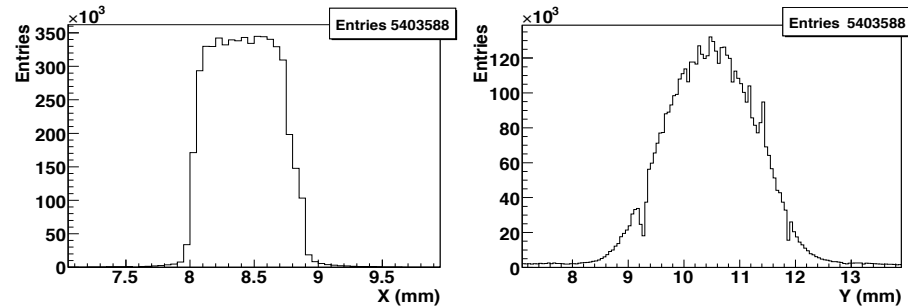


Figura 3.15: Profili orizzontale (sinistra) e verticale (destra) del fascio.

Divergenza:

- $\sim 10 \mu$  rad
- idealmente gaussiana

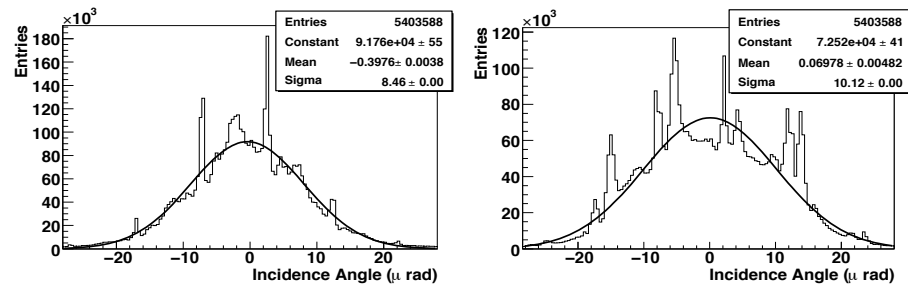


Figura 3.16: Distribuzioni dell'angolo di incidenza del fascio al cristallo nel piano orizzontale (sinistra) e verticale (destra). La divergenza del fascio viene definita dalla larghezza della funzione gaussiana utilizzata per descrivere tali distribuzioni. I picchi nelle distribuzioni sono dovuti alla risoluzione dei rivelatori.

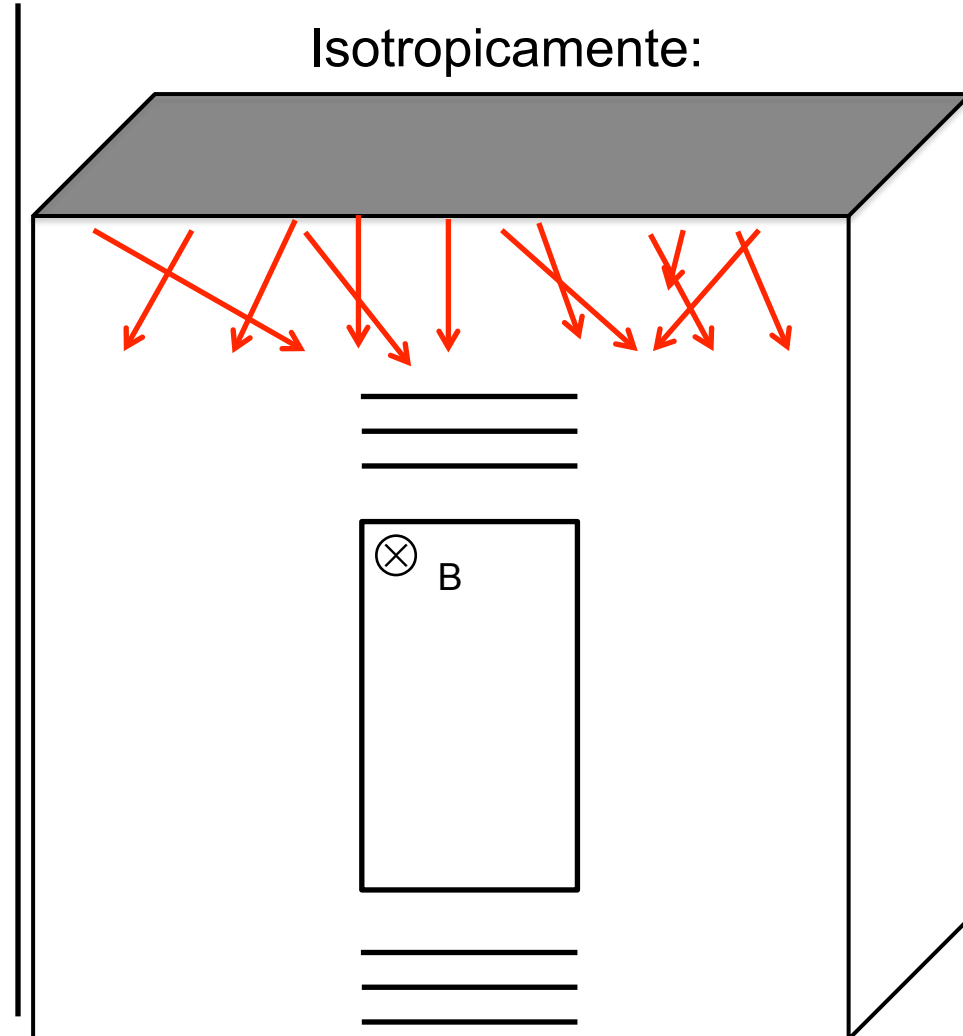
# Generatore

Come arrivano le particelle incidenti lo spettrometro?

Fascio di particelle:

```
const double PI= TMath::Pi();  
  
// beam pipe position  
Double_t BeamPos[3] = {0, 0, -10000}; //mm  
  
// beam spot dimension (RMS)  
Double_t Xwidth = 1.0 //mm  
Double_t Ywidth = 1.0 //mm  
  
// beam divergence (RMS)  
Double_t BeamDivergence = 1.0 //mrad  
  
  
// gen point on beam pipe  
Double_t Xg = 0.0;  
Xg = tran->Gaus(BeamPos[0], Xwidth);  
Double_t Yg = 0.0;  
Yg = tran->Gaus(BeamPos[1], Ywidth);  
Double_t Zg = 0.0;  
Zg = BEamPos[2];  
  
// gen direction  
Double_t theta = 0.0;  
theta = tran->Gaus(0.0, BeamDivergence);  
Double_t phi = 0.0;  
phi = tran->Uniform(0, 2.*PI);
```

Isotropicamente:

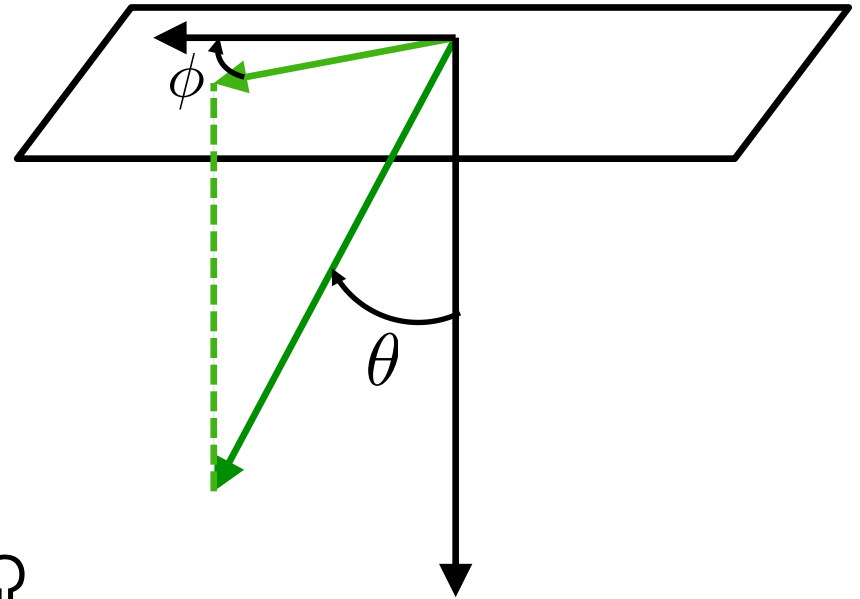


# Generazione isotropa

Flusso isotropo,  $\Phi$ :

$$\vec{p} = \{p_x, p_y, p_z\} \rightarrow \{|p|, \theta, \phi\}$$

Isotropo significa che



$$\frac{d\Phi}{d\Omega} = \frac{d\Phi}{d\phi d \cos \theta} = k$$

Il numero di particelle che attraversano un elemento di area,  $\Omega$

$$N \propto \int_{\Sigma} \vec{\Phi} \cdot d\vec{\sigma} \implies \frac{dN}{d\phi d \cos \theta} \propto \cos \theta$$

$$\frac{dN}{d\phi \cos \theta d \cos \theta} \sim k \sim \frac{dN}{d\phi d \cos^2 \theta}$$



# Generatore

Come arrivano le particelle incidenti lo spettrometro?

Fascio di particelle:

```
const double PI= TMath::Pi();

// beam pipe position
Double_t BeamPos[3] = {0, 0, -10000}; //mm

// beam spot dimension (RMS)
Double_t Xwidth = 1.0 //mm
Double_t Ywidth = 1.0 //mm

// beam divergence (RMS)
Double_t BeamDivergence = 1.0 //murad

// gen point on beam pipe
Double_t Xg = 0.0;
Xg = tran->Gaus(BeamPos[0], Xwidth);
Double_t Yg = 0.0;
Yg = tran->Gaus(BeamPos[1], Ywidth);
Double_t Zg = 0.0;
Zg = BeamPos[2];

// gen direction
Double_t theta = 0.0;
theta = tran->Gaus(0.0, BeamDivergence);
Double_t phi = 0.0;
phi = tran->Uniform(0, 2.*PI);
```

Isotropicamente:

```
// top plane features
Double_t Lg = 3.900; // m
Double_t Zg = (3.900/2.0); // m

// generation features | theta is wrt positive z-axis
const double PI= TMath::Pi();
Double_t THETA1= PI/2.0;
Double_t THETA2= PI;
Double_t PHI1= 0.;
Double_t PHI2= 2.*PI;

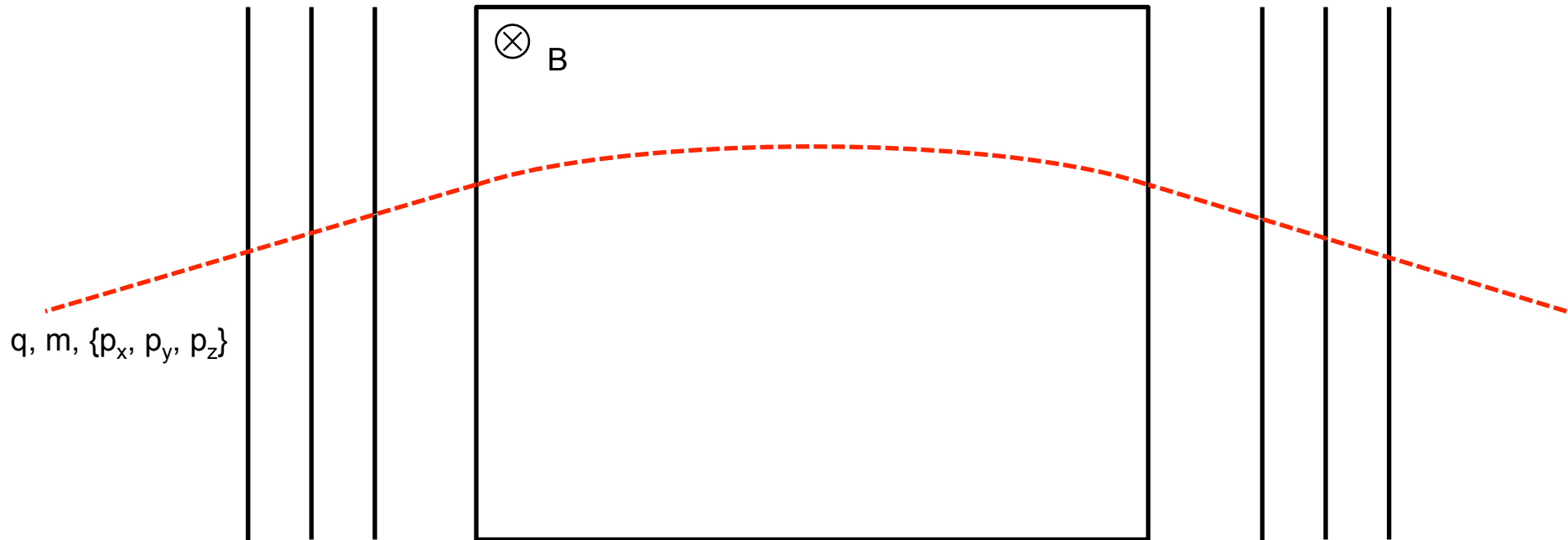
// --- gen point on top plane surface ---
double Xg = 0.0;
Xg = tran->Uniform(-Lg/2., Lg/2.);
double Yg = 0.0;
Yg = tran->Uniform(-Lg/2., Lg/2.);

// --- gen particle direction ---
double ctheta2 = 0.0;
ctheta2 = tran->Uniform( cos(THETA1)*cos(THETA1), cos(THETA2)*cos(THETA2) );
double phi = 0.0;
phi = tran->Uniform(PHI1, PHI2);

double theta = 0.0;
theta = PI - acos( sqrt(ctheta2) );
```

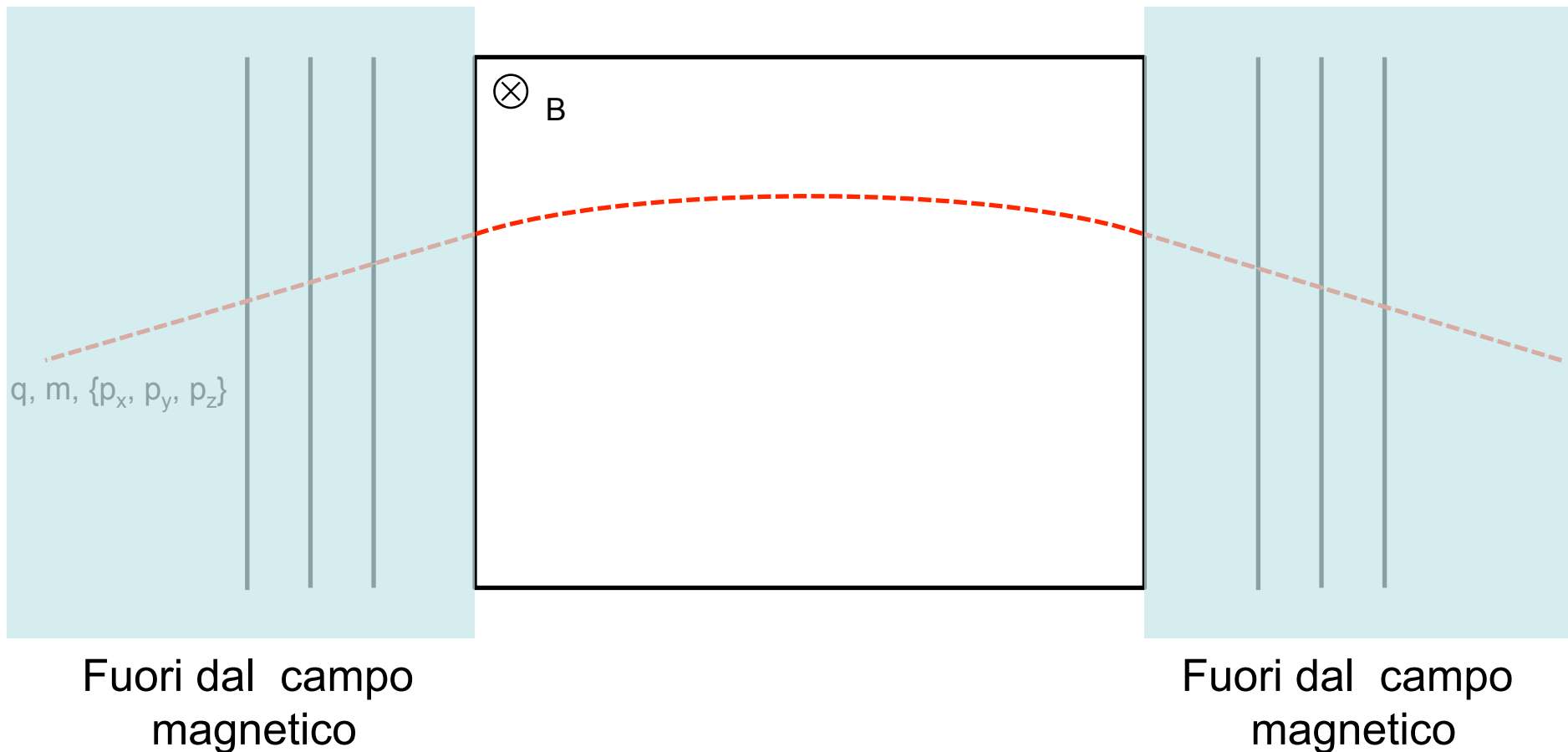
# Propagazione

Una volta generate le particelle le dobbiamo far propagare:



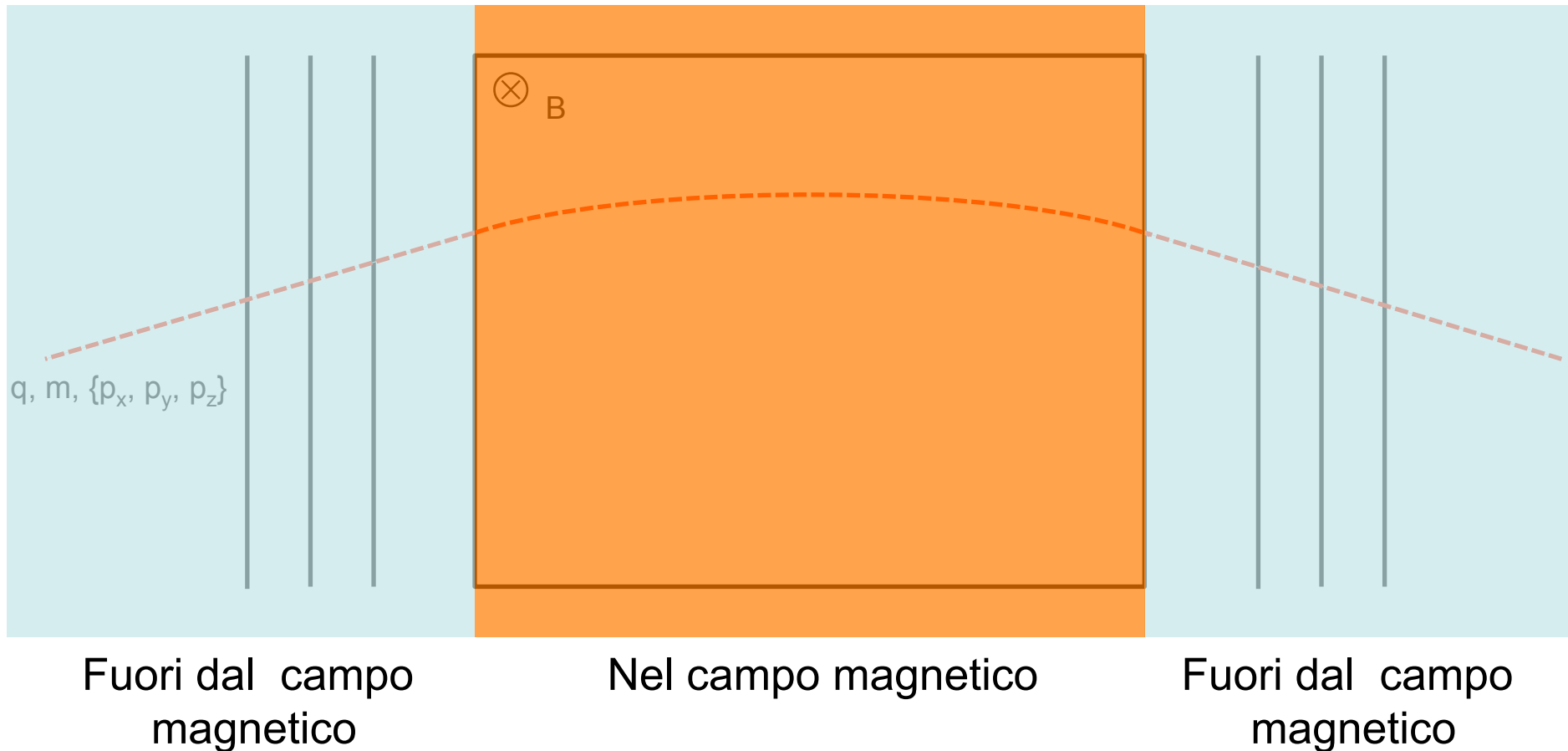
# Propagazione

Una volta generate le particelle le dobbiamo far propagare:



# Propagazione

Una volta generate le particelle le dobbiamo far propagare:



# Propagazione

Come si propagano le particelle?

Fuori dal campo magnetico:

```
// **** step 2 / propagation ****
```

```
// --- directions ---  
iDir[0] = sin(theta)*cos(phi);  
iDir[1] = sin(theta)*sin(phi);  
iDir[2] = cos(theta);
```

```
Ngen++;
```

```
//at the detector position 1
```

```
double tt1 = 0.0;  
tt1 = (Zd1-Zg)/iDir[2];
```

```
double Xd1= 999999999.9;  
Xd1 = Xg + tt1*iDir[0];  
double Yd1 = 999999999.9;  
Yd1 = Yg + tt1*iDir[1];
```



# Propagazione

Come si propagano le particelle?

Fuori dal campo magnetico:

```
// **** step 2 / propagation ****
```

```
// --- directions ---  
iDir[0] = sin(theta)*cos(phi);  
iDir[1] = sin(theta)*sin(phi);  
iDir[2] = cos(theta);
```

```
Ngen++;
```

```
//at the detector position 1  
double tt1 = 0.0;  
tt1 = (Zd1-Zg)/iDir[2];
```

```
double Xd1= 999999999.9;  
Xd1 = Xg + tt1*iDir[0];  
double Yd1 = 999999999.9;  
Yd1 = Yg + tt1*iDir[1];
```

Nel campo magnetico:

```
printf("Initial:\n");  
printf("r[3]={%f, %f, %f};\n", r[0], r[1], r[2]);  
printf("p[3]={%f, %f, %f};\n", p[0], p[1], p[2]);
```

```
double boost = InitializePars(q, m, p, r);  
double beta[3];  
for (int ii=0; ii<3; ii++){  
    beta[ii]=p[ii]/(m*boost);  
}  
printf("Beta: vx=%f c , vy=%f c, vz=%f c\n", beta[0], beta[1], beta[2]);
```

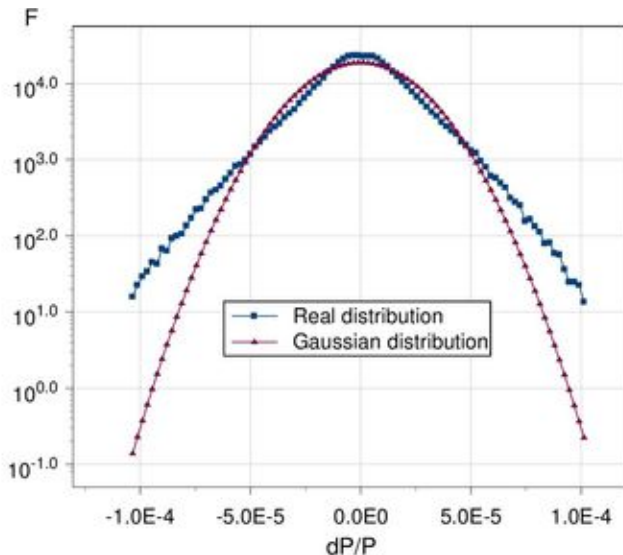
```
printf("Starting tracing!\n");  
errors+=IntegrateMotion(start, start, stop, step, errperc, p, r, sp, sB,
```

Necessaria la risoluzione di un sistema di equazioni differenziali

# Generatore (energia/momento)

Che energia hanno le particelle?

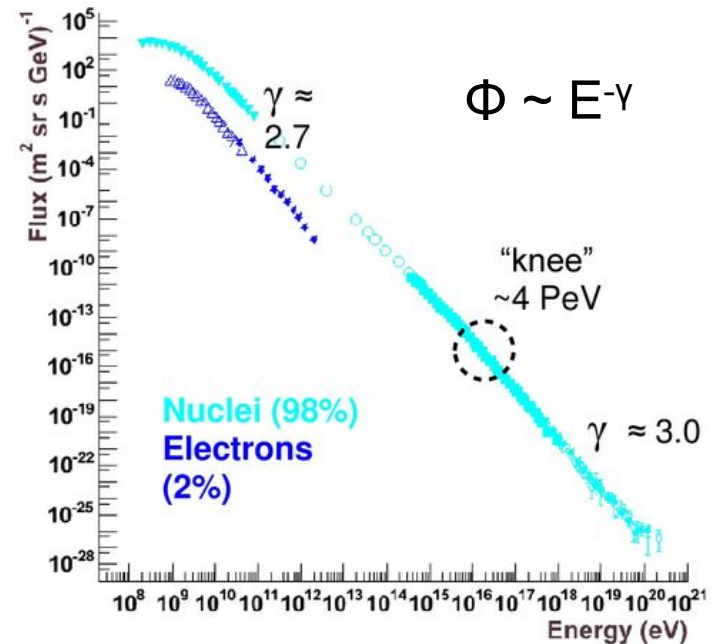
Monocromatico:



```
Double_t MOMMEAN = 100; //GeV/c
DDouble_t DeltaPoP = 0.00005; //GeV/c
```

```
double mom = tran->Gaus(MOMMEAN, MOMMEAN*DeltaPoP);
double w=1;
```

Spettro:



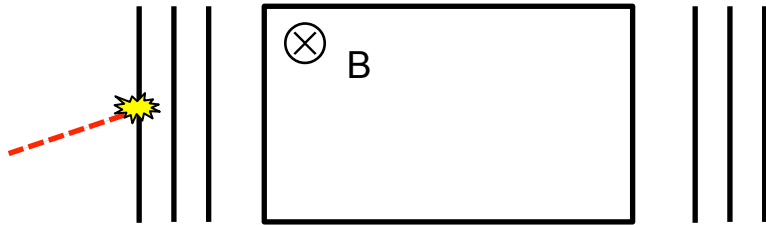
```
Double_t MOM1 = 0.1; //GeV/c
Double_t MOM2 = 1000; //GeV/c
Double_t INDEX = -3;
```

```
// --- gen momentum ---
double logmom = tran->Uniform(TMmath::Log10(MOM1), TMmath::Log10(MOM2));
double mom=pow(10.0, logmom); //GeV/c
double w = pow(mom, INDEX)*mom; //p^{index}/p^{-1}
```



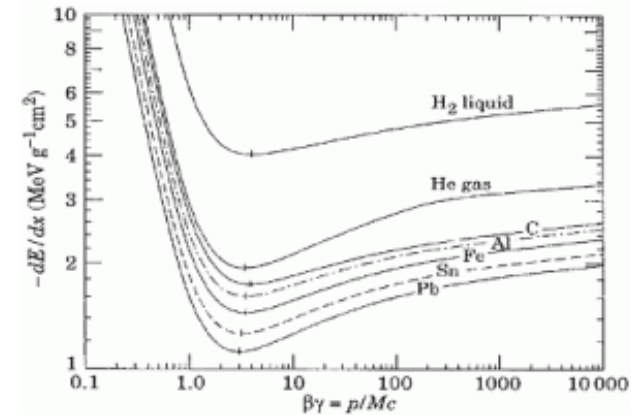
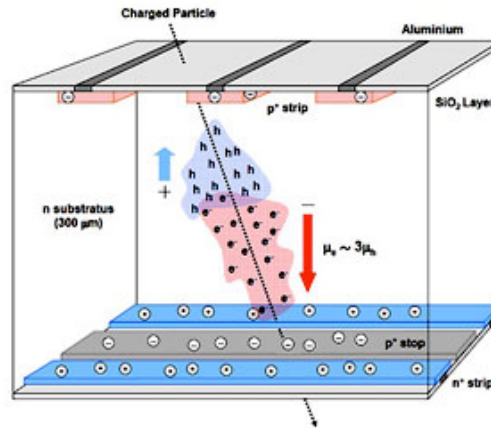
# Interazioni

Come interagiscono le particelle con il rivelatore?



Nel caso di un rivelatore al silicio (o comunque abbastanza sottile da non disintegrare la particelle)

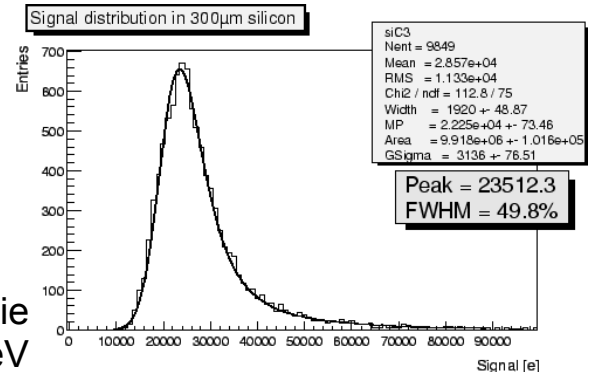
la perdita di energia per unità di materiale attraversato è data dalla formula di Bethe-Bloch



Se il rivelatore è molto sottile (< mm) il valore dato dalla Bethe-Bloch ci da solamente il valore medio di una variabile casuale distribuita secondo una Landau

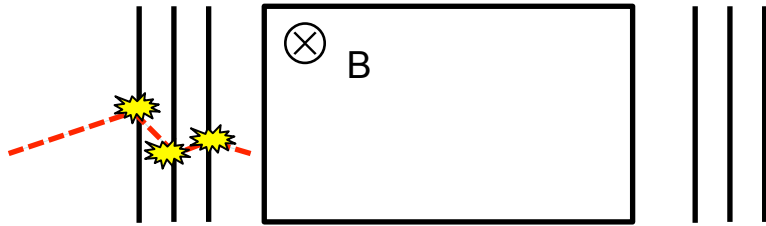
```
Double_t TRandom::Landau(Double_t mean = 0,
                          Double_t sigma = 1)
```

\* la media (in realtà valore più probabile) è ~ 80 coppie elettrone-lacuna/μm e l'energia per creare una coppia è 3.6 eV



# Interazioni

Come interagiscono le particelle con il rivelatore?



La traiettoria delle particelle è deflessa dalle collisioni Coulombiane con gli atomi del materiale attraversato

E la varianza della distribuzione degli angoli di deflessione è:

$$\theta_0 = \frac{13.6 \text{ MeV}}{\beta c p} z \sqrt{x/X_0} (1 + 0.038 \ln(x/X_0))$$

della particella  
incidente

frazione (in unità di  
lunghezza di radiazione) di  
materiale attraversato

Ad esempio in 2mm di silicio  
la distribuzione degli angoli:

